

УДК 539.3

ЭФФЕКТЫ РАССЕЙЯНИЯ УПРУГИХ ГАРМОНИЧЕСКИХ ВОЛН В ДАЛЬНЮЮ ЗОНУ ПРОСТРАНСТВЕННОЙ ТРЕЩИНОЙ

В. В. Михаськив, Н. Д. Грилицкий*, И. О. Бутрак

Институт прикладных проблем механики и математики им. Я. С. Подстригача
НАН Украины, 79060 Львов, Украина

* Львовский факультет Днепропетровского национального университета
железнодорожного транспорта, 79052 Львов, Украина
E-mail: tex@iapmm.lviv.ua

Методом граничных интегральных уравнений исследовано трехмерное волновое поле, образующееся вследствие дифракции низкочастотных волн на искривленной трещине в бесконечном упругом теле на большом расстоянии от дефекта. Для различных направлений падения плоских продольных волн на пологую сфероидальную трещину получены диаграммы направленности рассеянного поля в зависимости от эксцентриситета поверхности трещины и волнового числа.

Ключевые слова: упругое тело, пространственная трещина, гармоническая волна, рассеянное поле, диаграмма направленности, метод граничных интегральных уравнений.

Введение. При решении задач сейсмоки, диагностики и неразрушающего контроля большое внимание уделяется исследованию взаимодействия упругих волн с дефектами типа трещин, которые в реальных условиях имеют сложную геометрическую форму. Топология дефекта оказывает существенное влияние на волновую картину как в окрестности рассеивателя, так и вдали от него. Анализ ближней зоны, в частности динамических коэффициентов интенсивности напряжений в трехмерных телах с трещинами различной конфигурации, проведен в [1–7] методом граничных интегральных уравнений (ГИУ). В данной работе этот метод использован для изучения дальнего упругого волнового поля на основе зависимостей между его амплитудно-частотными характеристиками и граничными функциями раскрытия дефекта произвольной формы (решениями ГИУ). Следует отметить, что ранее аналогичный подход применялся при решении трехмерных задач дифракции акустических и электромагнитных волн на искривленных поверхностях [8, 9], а также упругих волн на плоских трещинах без учета [10, 11] и с учетом [12, 13] их взаимодействия.

Постановка задачи в форме интегральных уравнений и соотношений. Пусть в бесконечном упругом теле с трещиной, расположенной вдоль произвольной гладкой поверхности S , распространяется упругая гармоническая волна. Компоненты перемещений и соответствующих им напряжений имеют вид

$$\begin{aligned} u_j^{int}(\mathbf{x}, t) &= u_j^{int}(\mathbf{x}) \exp(-i\omega t), & j &= \overline{1, 3}, \\ \sigma_{jr}^{int}(\mathbf{x}, t) &= \sigma_{jr}^{int}(\mathbf{x}) \exp(-i\omega t), & j, r &= \overline{1, 3}, \end{aligned} \quad (1)$$

где $\mathbf{x}(x_1, x_2, x_3)$ — радиус-вектор точки тела; t — время; $i = \sqrt{-1}$; $u_j^{int}(\mathbf{x})$, $\sigma_{jr}^{int}(\mathbf{x})$ ($j, r = \overline{1, 3}$) — амплитуды перемещений и напряжений падающей волны соответственно; ω — циклическая частота. Поверхности трещины свободны от усилий (рис. 1).

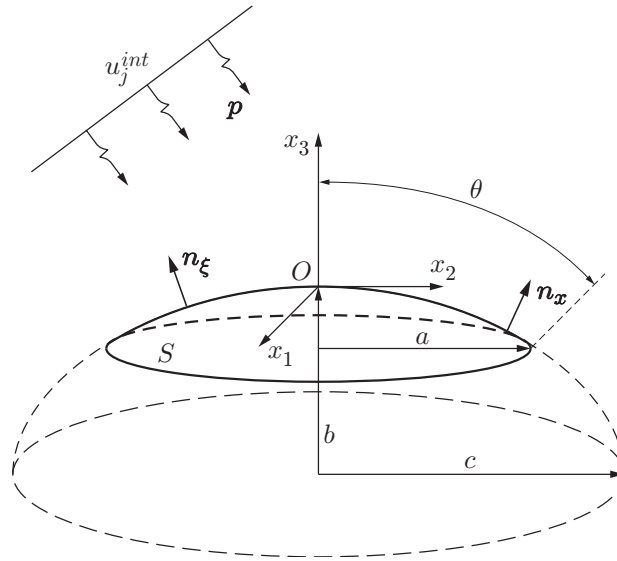


Рис. 1. Геометрия задачи

В случае установившегося процесса экспоненциальный временной множитель в (1) можно опустить. Тогда дифракционное поле перемещений u_j^* в теле вследствие взаимодействия волны с трещиной можно представить в виде суперпозиции [4]

$$u_j^*(\mathbf{x}) = u_j^{int}(\mathbf{x}) + u_j(\mathbf{x}), \quad j = \overline{1, 3}, \quad (2)$$

где $\mathbf{u}(u_1, u_2, u_3)$ — неизвестные перемещения отраженной от дефекта волны, удовлетворяющие условиям излучения на бесконечности и дифракционным уравнениям движения в случае стационарных колебаний:

$$\omega_1^{-2} \nabla(\nabla \cdot \mathbf{u}) - \omega_2^{-2} \nabla \times (\nabla \times \mathbf{u}) + \mathbf{u} = 0, \quad (3)$$

$\omega_j = \omega/c_j$ ($j = 1, 2$) — волновые числа; c_1, c_2 — скорости распространения в теле продольных и поперечных волн соответственно; ∇ — трехмерный набла-оператор.

С использованием теории потенциала решение задачи (1)–(3) сводится к решению следующей системы трех ГИУ относительно скачков перемещений противоположных поверхностей трещины Δu_j ($j = \overline{1, 3}$) в направлении координатных осей [14]:

$$\sum_{r=1}^3 \iint_S \Delta u_r(\boldsymbol{\xi}, \omega) \Omega_{jr}(\mathbf{x}, \boldsymbol{\xi}, \omega) dS_{\boldsymbol{\xi}} = -\frac{1}{4G} \sum_{r=1}^3 \sigma_{jr}^{int}(\mathbf{x}, \omega) n_{rx}, \quad j = \overline{1, 3}, \quad \mathbf{x} \in S. \quad (4)$$

Здесь правые части описывают усилия (с противоположным знаком), вызванные падающей волной в области дефекта, ядра Ω_{jr} имеют особенность потенциала Гельмгольца

$$\begin{aligned} \Omega_{jr}(\mathbf{x}, \boldsymbol{\xi}, \omega) = & \left(\frac{1 - 2\gamma^2}{2} \sum_{m=1}^3 \sum_{p=1}^3 (\delta_{jm} n_{px} n_{r\xi} + \delta_{rm} n_{jx} n_{p\xi}) \frac{\partial^2}{\partial x_m \partial x_p} - \right. \\ & \left. - \frac{(1 - 2\gamma^2)^2}{4} \omega_2^2 n_{jx} n_{r\xi} \right) \frac{\exp(i\omega_1 |\mathbf{x} - \boldsymbol{\xi}|)}{|\mathbf{x} - \boldsymbol{\xi}|} + \frac{1}{4} \sum_{m=1}^3 \sum_{p=1}^3 [\delta_{jr} n_{px} n_{m\xi} + \delta_{jp} n_{rx} n_{m\xi} + \\ & + \delta_{rm} n_{px} n_{j\xi} + \delta_{mj} \delta_{pr} (\mathbf{n}_x \cdot \mathbf{n}_{\xi})] \frac{\partial^2}{\partial x_m \partial x_p} \left(\frac{\exp(i\omega_2 |\mathbf{x} - \boldsymbol{\xi}|)}{|\mathbf{x} - \boldsymbol{\xi}|} \right) + \end{aligned}$$

$$+ \frac{1}{\omega_2^2} \frac{\partial^2}{\partial x_j \partial x_r} \sum_{m=1}^3 \sum_{p=1}^3 n_{m\mathbf{x}} n_{p\boldsymbol{\xi}} \frac{\partial^2}{\partial x_m \partial x_p} \left(\frac{\exp(i\omega_2|\mathbf{x} - \boldsymbol{\xi}|) - \exp(i\omega_1|\mathbf{x} - \boldsymbol{\xi}|)}{|\mathbf{x} - \boldsymbol{\xi}|} \right),$$

G — модуль сдвига; $\gamma = c_2/c_1 = \sqrt{(1-2\nu)/(2(1-\nu))}$; ν — коэффициент Пуассона; δ_{jr} — символ Кронекера; $|\mathbf{x} - \boldsymbol{\xi}|$ — расстояние между точкой поля $\mathbf{x}(x_1, x_2, x_3)$ и точкой интегрирования $\boldsymbol{\xi}(\xi_1, \xi_2, \xi_3)$; $n_{p\mathbf{x}}$, $n_{p\boldsymbol{\xi}}$ ($p = \overline{1, 3}$) — проекции нормали к поверхности S в этих точках.

На больших расстояниях от трещины $|\mathbf{x}| \gg |\boldsymbol{\xi}|$ ($\boldsymbol{\xi} \in S$) имеют место асимптотические представления перемещений рассеянных волн [7], которые в сферической системе координат $x_1 = R \sin \varphi \cos \psi$, $x_2 = R \sin \varphi \sin \psi$, $x_3 = R \cos \varphi$ записываются в виде

$$\begin{aligned} u_R(R, \varphi, \psi) &= \frac{\exp(i\omega_1 R)}{R} F_P(\varphi, \psi), & R \rightarrow \infty, \\ u_\varphi(R, \varphi, \psi) &= \frac{\exp(i\omega_2 R)}{R} F_{SV}(\varphi, \psi), & R \rightarrow \infty, \\ u_\psi(R, \varphi, \psi) &= \frac{\exp(i\omega_2 R)}{R} F_{SH}(\varphi, \psi), & R \rightarrow \infty. \end{aligned} \quad (5)$$

В формулах (5) амплитуды плоской продольной волны F_P , а также плоских поперечных вертикально (F_{SV}) и горизонтально (F_{SH}) поляризованных волн интегрально зависят от функций Δu_j ($j = \overline{1, 3}$):

$$\begin{aligned} F_P(\varphi, \psi) &= i\omega_1 \sum_{j=1}^3 \sum_{s=1}^3 [2\gamma^2 \tilde{x}_j \tilde{x}_s + (1-2\gamma^2)\delta_{js}] \iint_S \exp(-i\omega_1(\tilde{\mathbf{x}} \cdot \boldsymbol{\xi})) \Delta u_j(\boldsymbol{\xi}) n_{s\boldsymbol{\xi}} dS_{\boldsymbol{\xi}}, \\ F_{SV}(\varphi, \psi) &= i\omega_2 \sum_{j=1}^3 \sum_{s=1}^3 [\tilde{v}_j \tilde{x}_s + \tilde{v}_s \tilde{x}_j] \iint_S \exp(-i\omega_2(\tilde{\mathbf{x}} \cdot \boldsymbol{\xi})) \Delta u_j(\boldsymbol{\xi}) n_{s\boldsymbol{\xi}} dS_{\boldsymbol{\xi}}, \\ F_{SH}(\varphi, \psi) &= i\omega_2 \sum_{j=1}^3 \sum_{s=1}^3 [\tilde{h}_j \tilde{x}_s + \tilde{h}_s \tilde{x}_j] \iint_S \exp(-i\omega_2(\tilde{\mathbf{x}} \cdot \boldsymbol{\xi})) \Delta u_j(\boldsymbol{\xi}) n_{s\boldsymbol{\xi}} dS_{\boldsymbol{\xi}}. \end{aligned} \quad (6)$$

Здесь $\tilde{\mathbf{x}}$, $\tilde{\mathbf{v}}$, $\tilde{\mathbf{h}}$ — единичные векторы:

$$\tilde{\mathbf{x}} = \begin{bmatrix} \sin \varphi \cos \psi \\ \sin \varphi \sin \psi \\ \cos \varphi \end{bmatrix}, \quad \tilde{\mathbf{v}} = \begin{bmatrix} \cos \varphi \cos \psi \\ \cos \varphi \sin \psi \\ -\sin \varphi \end{bmatrix}, \quad \tilde{\mathbf{h}} = \begin{bmatrix} -\sin \psi \\ \cos \psi \\ 0 \end{bmatrix}.$$

Таким образом, решение задачи рассеяния волн в дальнюю зону пространственной трещиной сводится к определению функций динамического раскрытия дефекта в ГИУ (4) с последующей их подстановкой в интегральные соотношения (6).

Построение решения в длинноволновом приближении для пологой трещины. С целью получения конкретного решения задачи рассмотрим случай, когда в упругом теле имеется сфероидальная трещина с поверхностью $x_3 = F(x_1, x_2) = b(\sqrt{1 - (x_1^2 + x_2^2)/c^2} - 1)$ в системе координат, центр которой находится в вершине дефекта (b, c — полуоси сфероиды, $b \leq c$). Контур трещины образуется линией пересечения сфероиды с плоскостью, параллельной координатной плоскости $x_1 O x_2$, и представляет собой круг радиусом a (см. рис. 1). Геометрические параметры трещины выбираются из условия ее пологости, т. е. угол между нормальными в произвольных точках поверхности S

не должен превышать значения $\pi/4$. На трещину набегают низкочастотная плоская продольная волна в направлении орта $\mathbf{p}(p_1, p_2, p_3)$. Компоненты напряжений волны имеют вид

$$\sigma_{jr}^{int}(\mathbf{x}, \omega) = P_0[2\gamma^2 p_r p_j + (1 - 2\gamma^2)\delta_{jr}] \exp(i\omega_1(\mathbf{p} \cdot \mathbf{x})), \quad j, r = \overline{1, 3},$$

где P_0 — постоянная, соответствующая амплитуде нормальных усилий в плоскостях, параллельных фронту волны.

Сделанные предположения о пологости трещины и характере установившегося возбуждения позволяют решить ГИУ (4) методом малого параметра на основе представлений

$$\exp(i\omega_j r) = \sum_{k=0}^{\infty} \frac{(i\omega_j r)^k}{k!}, \quad j = 1, 2, \quad r = |\mathbf{x} - \boldsymbol{\xi}| \quad \text{или} \quad r = \mathbf{p} \cdot \mathbf{x},$$

$$F(x_1, x_2) = - \sum_{q=0}^{\infty} \frac{(2q-3)!!}{2q!!} \left(\frac{x_1^2 + x_2^2}{a^2}\right)^q \varepsilon^{2q}, \quad (x_1, x_2) \in S_0, \quad (7)$$

где $\varepsilon = a/c < 1$ — геометрический параметр; S_0 — круговая область радиусом a , являющаяся проекцией области S на координатную плоскость $x_1 O x_2$.

Представления (7) позволяют разложить ядра и правые части ГИУ (4) в сходящиеся двойные ряды по частотному и геометрическому параметрам. Используя аналогичные разложения для искомым функций в виде

$$\Delta u_j(\mathbf{x}, \omega) = \sum_{q=0}^{\infty} \sum_{k=0}^{\infty} \Delta u_j^{(k,q)}(x_1, x_2) (i\omega_2)^k \varepsilon^q, \quad j = \overline{1, 3} \quad (8)$$

и приравнивая в правых и левых частях уравнений (4) выражения с одинаковыми степенями малых параметров, получим рекуррентные относительно индексов k, q интегральные уравнения по плоской области S_0 со статистическим (ньютоновским) ядром для определения функций $\Delta u_j^{(k,q)}$ ($j = \overline{1, 3}, k, q = \overline{0, \infty}$). Эти уравнения допускают аналитическое решение на основе теоремы об их полиномиальной консервативности [15]. В частности, если направление генерирующей волны совпадает с направлением орта $\mathbf{p} = \mathbf{p}(0, 0, -1)$ (направление I) или с направлением орта $\mathbf{p} = \mathbf{p}(0, 0, 1)$ (направление II), то приближенные решения ГИУ (4) с сохранением членов порядка $(i\omega_2)^3 \varepsilon, (i\omega_2) \varepsilon^2$ получаются при следующих значениях коэффициентов в формуле (8):

$$\Delta u_j^{(0,0)}(\mathbf{x}) = 0 \quad (j = 1, 2), \quad \Delta u_3^{(0,0)}(\mathbf{x}) = -\frac{P_0}{2G(1-\gamma^2)\pi^2} \sqrt{a^2 - x_1^2 - x_2^2},$$

$$\Delta u_j^{(0,1)}(\mathbf{x}) = -\frac{P_0}{12G\pi^2} \frac{3-9\gamma^2+8\gamma^4}{(1-\gamma^2)^2} \frac{b}{c} \frac{x_j}{a} \sqrt{a^2 - x_1^2 - x_2^2} \quad (j = 1, 2),$$

$$\Delta u_3^{(0,1)}(\mathbf{x}) = 0, \quad \Delta u_j^{(0,2)}(\mathbf{x}) = 0 \quad (j = 1, 2),$$

$$\Delta u_3^{(0,2)}(\mathbf{x}) = \frac{P_0}{144G\pi^2} \frac{1}{(1-\gamma^2)^3} \left(\frac{b}{c}\right)^2 \frac{1}{a^2} \sqrt{a^2 - x_1^2 - x_2^2} \times$$

$$\times [2(9-30\gamma^2+41\gamma^4-24\gamma^6)a^2 - (9-42\gamma^2+73\gamma^4-48\gamma^6)(x_1^2+x_2^2)],$$

$$\Delta u_j^{(1,q)}(\mathbf{x}) = 0 \quad (j = \overline{1, 3}, q = 0, 1), \quad \Delta u_j^{(1,2)}(\mathbf{x}) = 0 \quad (j = 1, 2),$$

$$\Delta u_3^{(1,2)}(\mathbf{x}) = \mp \frac{P_0 b}{18G\pi^2} \frac{\gamma}{1-\gamma^2} \frac{1}{a^2} \sqrt{a^2 - x_1^2 - x_2^2} (a^2 + 2(x_1^2 + x_2^2)), \quad (9)$$

$$\begin{aligned}
\Delta u_j^{(2,0)}(\mathbf{x}) &= 0 \quad (j = 1, 2), \\
\Delta u_3^{(2,0)}(\mathbf{x}) &= \frac{P_0}{72G\pi^2} \frac{3 - 4\gamma^2 + 3\gamma^4}{(1 - \gamma^2)^2} (4a^2 - x_1^2 - x_2^2) \sqrt{a^2 - x_1^2 - x_2^2}, \\
\Delta u_j^{(2,1)}(\mathbf{x}) &= \frac{P_0}{720G\pi^2} \frac{1}{(1 - \gamma^2)^3} \frac{b}{c} \frac{x_j}{a} \sqrt{a^2 - x_1^2 - x_2^2} [(27 - 86\gamma^2 + 105\gamma^4 - 28\gamma^6 + 16\gamma^8)a^2 - \\
&\quad - (21 - 53\gamma^2 + 55\gamma^4 - 19\gamma^6 + 8\gamma^8)(x_1^2 + x_2^2)] \quad (j = 1, 2), \\
\Delta u_3^{(2,1)}(\mathbf{x}) &= 0, \quad \Delta u_j^{(3,0)}(\mathbf{x}) = 0 \quad (j = 1, 2), \\
\Delta u_3^{(3,0)}(\mathbf{x}) &= \frac{P_0 a^3}{90G\pi^3} \frac{8 + 15\gamma - 40\gamma^3 + 32\gamma^5}{(1 - \gamma^2)^2} \sqrt{a^2 - x_1^2 - x_2^2}, \quad \Delta u_3^{(3,1)}(\mathbf{x}) = 0, \\
\Delta u_j^{(3,1)}(\mathbf{x}) &= \frac{P_0 a^2}{270G\pi^3} \frac{b}{c} x_j \frac{48\gamma^7 - 24\gamma^5 + 25\gamma^3 + 32\gamma^2 + 15\gamma - 16}{(1 - \gamma^2)^3} \sqrt{a^2 - x_1^2 - x_2^2} \quad (j = 1, 2).
\end{aligned}$$

Здесь и ниже при использовании знаков “ \mp ” и “ \pm ” верхний знак соответствует направлению I, нижний знак — направлению II.

Для дальнейшего исследования динамических перемещений в дальней зоне необходимо вычислить интегралы (6) с учетом функций раскрытия дефекта (8), (9). Принимая асимптотические формулы (7) при $r = \tilde{\mathbf{x}} \cdot \boldsymbol{\xi}$ и используя методику редукции поверхностных интегралов к двойным интегралам вида

$$\begin{aligned}
\iint_{S_0} \sqrt{a^2 - \xi_1^2 - \xi_2^2} dS_{\boldsymbol{\xi}} &= \frac{2}{3} \pi a^3, \quad \iint_{S_0} \xi_j \sqrt{a^2 - \xi_1^2 - \xi_2^2} dS_{\boldsymbol{\xi}} = 0 \quad (j = 1, 2), \\
\iint_{S_0} \xi_1 \xi_2 \sqrt{a^2 - \xi_1^2 - \xi_2^2} dS_{\boldsymbol{\xi}} &= 0, \quad \iint_{S_0} \xi_j^2 \sqrt{a^2 - \xi_1^2 - \xi_2^2} dS_{\boldsymbol{\xi}} = \frac{2}{15} \pi a^5 \quad (j = 1, 2), \\
\iint_{S_0} \xi_i^2 \xi_j \sqrt{a^2 - \xi_1^2 - \xi_2^2} dS_{\boldsymbol{\xi}} &= 0 \quad (i, j = 1, 2), \\
\iint_{S_0} \xi_j^4 \sqrt{a^2 - \xi_1^2 - \xi_2^2} dS_{\boldsymbol{\xi}} &= \frac{2}{35} \pi a^7 \quad (j = 1, 2), \quad \iint_{S_0} \xi_1^2 \xi_2^2 \sqrt{a^2 - \xi_1^2 - \xi_2^2} dS_{\boldsymbol{\xi}} = \frac{2}{105} \pi a^7, \\
\iint_{S_0} \xi_i^3 \xi_j \sqrt{a^2 - \xi_1^2 - \xi_2^2} dS_{\boldsymbol{\xi}} &= 0 \quad (i, j = 1, 2, \quad i \neq j),
\end{aligned}$$

для рассмотренных двух способов вовлечения трещины в волновое поле получим следующие приближения амплитуд рассеяния волн различных мод:

$$\begin{aligned}
F_P(\varphi) &= i\chi F_* \left\langle g_1 + g_2 \cos^2 \varphi + (g_3 + g_4 \sin^2 \varphi + g_5 \cos^2 \varphi) \left(\frac{b}{c}\right)^2 \frac{\sin^2 \theta}{1 - k^2 \cos^2 \theta} + \right. \\
&\quad + i[g_6 \sin^2 \varphi \cos \varphi + (g_7 + g_8 \cos^2 \varphi)(\cos \varphi \pm 1)] \frac{b}{c} \frac{\sin \theta}{\sqrt{1 - k^2 \cos^2 \theta}} \chi - \\
&\quad - (g_9 + g_{10} \sin^2 \varphi + g_{11} \sin^2 2\varphi + g_{12} \cos^2 \varphi) \chi^2 - \\
&\quad \left. - i \left(g_{13} + g_{14} \cos^2 \varphi + (g_{15} + g_{16} \sin^2 \varphi) \sin^2 \varphi \cos \varphi \frac{b}{c} \frac{\sin \theta}{\sqrt{1 - k^2 \cos^2 \theta}} \right) \chi^3 \right\rangle, \quad (10)
\end{aligned}$$

$$\begin{aligned}
F_{SV}(\varphi) = i\chi \frac{F_*}{\gamma} & \left\langle \sin 2\varphi + h_1 \sin 2\varphi \left(\frac{b}{c}\right)^2 \frac{\sin^2 \theta}{1 - k^2 \cos^2 \theta} + \right. \\
& + i(h_2 \sin \varphi \cos 2\varphi + h_3 \cos \varphi \sin 2\varphi \pm h_4 \sin 2\varphi) \frac{b}{c} \frac{\sin \theta}{\sqrt{1 - k^2 \cos^2 \theta}} \chi - \\
& - (h_5 + h_6 \sin^2 \varphi) \sin 2\varphi \chi^2 - \\
& \left. - i \left(h_7 \sin 2\varphi + (h_8 + h_9 \sin^2 \varphi) \cos 2\varphi \sin \varphi \frac{b}{c} \frac{\sin \theta}{\sqrt{1 - k^2 \cos^2 \theta}} \right) \chi^3 \right\rangle; \\
F_{SH}(\varphi) & = 0
\end{aligned} \tag{11}$$

(соотношение (11) справедливо и для направления I, и для направления II). В (10), (11) $\chi = \omega_2 a$ — нормализованное волновое число; θ — угол между нормалью к поверхности трещины на ее контуре и осью Ox_3 , характеризующий степень искривления трещины (см. рис. 1), причем $\cos^2 \theta = (1 - (a/c)^2)/(1 - k^2(a/c)^2)$; $k^2 = 1 - (b/c)^2$; $F_* = P_0 a^2 \gamma / (3G\pi(1 - \gamma^2))$ — нормирующая величина, пропорциональная площади основания трещины,

$$\begin{aligned}
g_1 & = 2\gamma^2 - 1, & g_2 & = -2\gamma^2, & g_3 & = \frac{\gamma^2(1 - 2\gamma^2)(3 - 6\gamma^2 + 2\gamma^4)}{15(1 - \gamma^2)^2}, \\
g_4 & = -\frac{\gamma^2(3 - 9\gamma^2 + 8\gamma^4)}{15(1 - \gamma^2)}, & g_5 & = \frac{2\gamma^2(3 - 9\gamma^2 + 11\gamma^4 - 6\gamma^6)}{15(1 - \gamma^2)^2}, & g_6 & = \frac{\gamma^3(9 - 15\gamma^2 + 8\gamma^4)}{60(1 - \gamma^2)}, \\
g_7 & = -\frac{\gamma(1 - 2\gamma^2)}{5}, & g_8 & = -\frac{2\gamma^3}{5}, & g_9 & = \frac{(1 - 2\gamma^2)(3 - 4\gamma^2 + 3\gamma^4)}{10(1 - \gamma^2)}, & g_{10} & = \frac{\gamma}{2} g_7, \\
g_{11} & = \frac{\gamma}{8} g_8, & g_{12} & = \frac{\gamma^2(3 - 4\gamma^2 + 3\gamma^4)}{5(1 - \gamma^2)}, & g_{13} & = \frac{(1 - 2\gamma^2)(8 + 15\gamma - 40\gamma^3 + 32\gamma^5)}{45(1 - \gamma^2)\pi}, \\
g_{14} & = \frac{2\gamma^2(8 + 15\gamma - 40\gamma^3 + 32\gamma^5)}{45(1 - \gamma^2)\pi}, & g_{15} & = -\frac{\gamma^3(165 - 414\gamma^2 + 439\gamma^4 - 168\gamma^6 + 16\gamma^8)}{1260(1 - \gamma^2)^2}, \\
g_{16} & = \frac{\gamma^5(9 - 15\gamma^2 + 8\gamma^4)}{210(1 - \gamma^2)}, \\
h_1 & = -\frac{9 - 30\gamma^2 + 39\gamma^4 - 20\gamma^6}{30(1 - \gamma^2)^2}, & h_2 & = \frac{2}{\gamma^3} g_6, & h_3 & = \frac{1}{5}, & h_4 & = \gamma h_3, \\
h_5 & = -\frac{g_9}{1 - 2\gamma^2}, & h_6 & = \frac{h_3}{2}, & h_7 & = -\frac{8 + 15\gamma - 40\gamma^3 + 32\gamma^5}{45(1 - \gamma^2)\pi}, \\
h_8 & = -\frac{165 - 270\gamma^2 + 247\gamma^4 - 24\gamma^6 + 16\gamma^8}{2520(1 - \gamma^2)^2}, & h_9 & = \frac{9 - 15\gamma^2 + 8\gamma^4}{420(1 - \gamma^2)}.
\end{aligned}$$

Следует отметить, что одинаковое распределение амплитуд рассеяния продольных и поперечных вертикально поляризованных волн в меридиональных плоскостях $\psi = \text{const}$, а также равенство нулю амплитуд рассеяния поперечных горизонтально поляризованных волн обусловлено симметрией поверхности трещины и генерирующей установившейся волны растяжения-сжатия относительно оси Ox_3 .

Анализ диаграмм направленности рассеянного поля. Расчет представленных на рис. 2, 3 относительных амплитуд $\bar{F}_A(\varphi) = |F_A(\varphi)|/F_*$ ($A \equiv P, SV$) как функций угловой координаты φ проводился для сфероидальной трещины с радиусом контура $a = 0,5c$ при значении коэффициента Пуассона $\nu = 0,3$. Эксцентриситет поверхности трещины

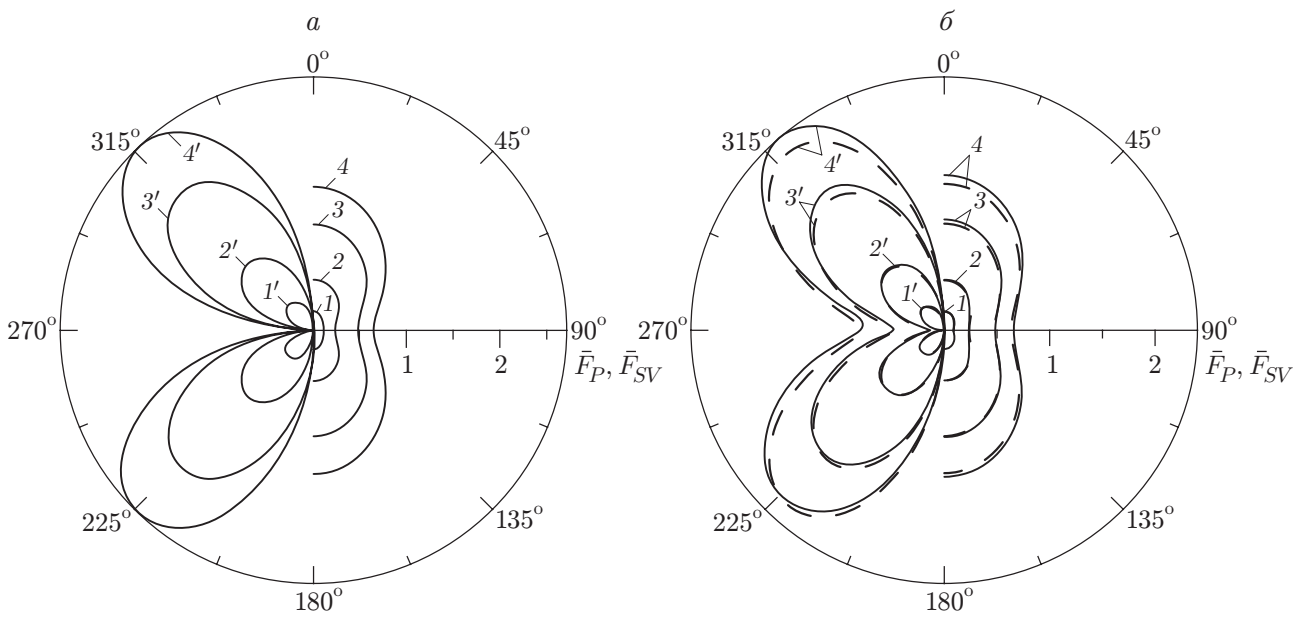


Рис. 2. Диаграммы направленности рассеянного поля плоской трещиной при $\theta = 0^\circ$ (а) и искривленной сфероидальной трещиной при $\theta = 40^\circ$ (б):

1-4 — характеристики продольных отраженных волн; 1'-4' — характеристики поперечных отраженных волн; 1, 1' — $\chi = 0,2$; 2, 2' — $\chi = 0,5$; 3, 3' — $\chi = 0,9$; 4, 4' — $\chi = 1,1$; сплошные линии — распространение генерирующей волны в направлении I, штриховые линии — то же в направлении II

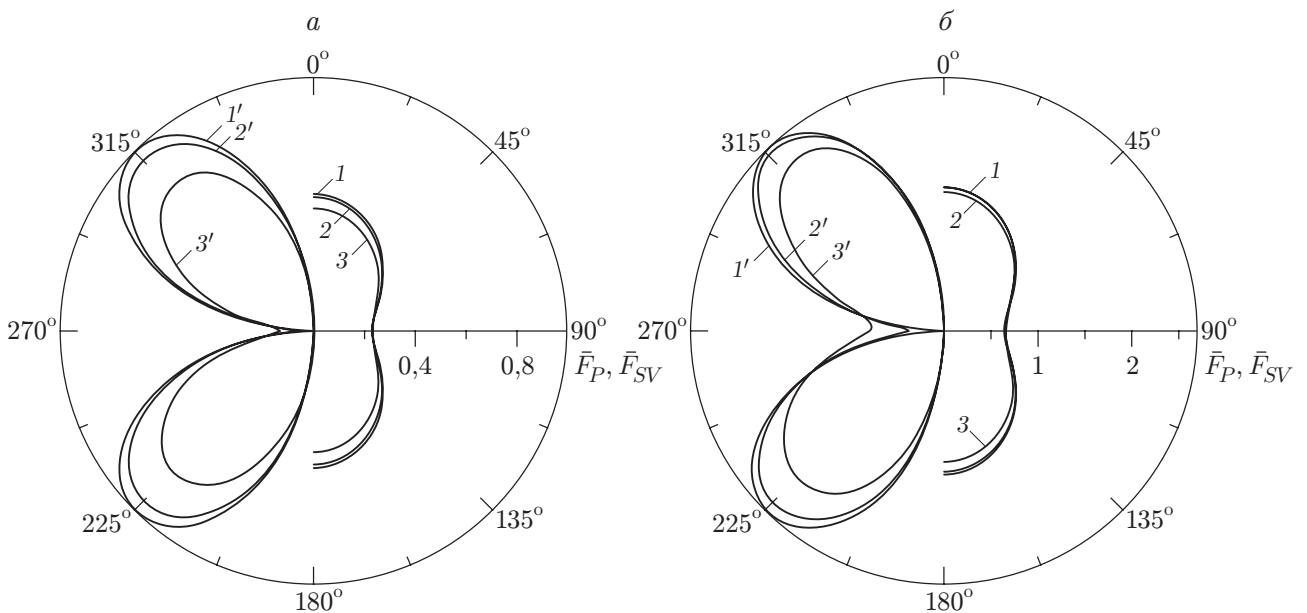


Рис. 3. Диаграммы направленности рассеянного поля трещиной при падении волны в направлении I:

а — $\chi = 0,5$; б — $\chi = 1,1$; 1-3 — характеристики продольных отраженных волн; 1'-3' — характеристики поперечных отраженных волн; 1, 1' — плоская трещина ($\theta = 0^\circ$); 2, 2' — сферическая трещина ($\theta = 30^\circ$); 3, 3' — сфероидальная трещина ($\theta = 40^\circ$)

варьировался изменением угла θ в диапазоне от $\theta = 0^\circ$, когда в теле имеется плоская круговая трещина, до значения $\theta = 40^\circ$. Поверхность сферической трещины ($b = c$) определялась значением $\theta = 30^\circ$. Вследствие симметрии задачи на каждой диаграмме представлены характеристики как продольных, так и поперечных отраженных волн. Из рис. 2 следует, что с увеличением волнового числа амплитуды рассеяния волн обеих мод увеличиваются. В случае плоской трещины волновое поле симметрично относительно экваториальной плоскости, причем амплитуды как F_P , так и F_{SV} для направлений I и II генерирующей волны равны между собой. Минимальные значения амплитуд рассеяния наблюдаются в экваториальной плоскости, а для величины F_{SV} также при $\varphi = 0, \pi$ в точках, где $F_{SV} = 0$. Для продольных волн максимумы амплитуд рассеяния расположены на оси, определяющей направление распространения генерирующей волны, для поперечных волн — на осях, образующих с этим направлением угол, близкий к 45° , зависящий от волнового числа. Абсолютные максимумы этих параметров достигаются со стороны выпуклости дефекта (см. рис. 1), причем в случае дифракции внешней волны с той же стороны они больше. Различие реакции трещины в зависимости от двух рассмотренных направлений волны более существенно в области больших волновых чисел.

Данные на рис. 3 показывают, что при увеличении кривизны трещины амплитуда рассеянных волн уменьшается. Это объясняется уменьшением удельной упругой энергии, израсходованной генерирующей волной на раскрытие дефекта. Данные результаты могут быть использованы в качестве тестовых при решении обратных задач определения геометрических параметров трещины по данным рассеянного поля.

ЛИТЕРАТУРА

1. Александров В. М., Сметанин Б. И., Соболев Б. В. Тонкие концентраторы напряжений в упругих телах. М.: Физматлит, 1993.
2. Михаськив В. В., Бутрак И. О. Трехмерные динамические задачи для упругого тела с пологой трещиной // Физ.-хим. механика материалов. 2003. Т. 39, № 1. С. 69–78.
3. Dominguez J., Ariza M. P. General BE approach for three-dimensional dynamic fracture analysis // Engng Anal. Bound Elements. 2002. V. 26, N 8. P. 639–651.
4. Parton V. Z., Boriskovsky V. G. Dynamic fracture mechanics. N. Y.: Hemisphere Publ. Co., 1989.
5. Sladek J., Sladek V., Mykhas'kiv V. V., Stankevych V. Z. Application of mapping theory to boundary integral formulation of 3-D dynamic crack problems // Engng Anal. Bound Elements. 2003. V. 27, N 3. P. 203–213.
6. Tada T., Fukuyama E., Madariaga R. Non-hypersingular boundary integral equations for 3-D non-planar crack dynamics // Comput. Mech. 2000. V. 25, N 6. P. 613–626.
7. Zhang Ch., Gross D. On wave propagation in elastic solids with cracks. Southampton: Comput. Mech. Publ., 1998.
8. Галишников Т. Н., Ильинский А. С. Численные методы в задачах дифракции. М.: Изд-во Моск. ун-та, 1987.
9. Захаров Е. В., Халеева И. В. Гиперсингулярные интегральные уравнения I рода задач дифракции электромагнитных волн на незамкнутых поверхностях // Журн. вычисл. математики и мат. физики. 1993. Т. 33, № 2. С. 313–318.
10. Капцов А. В., Шифрин Е. И. О рассеянии плоской трещиной нормально падающей продольной гармонической волны // Изв. АН СССР. Механика твердого тела. 1986. № 6. С. 106–112.

11. **Hirose S., Achenbach J. D.** Higher harmonics in the far field due to dynamic crack-face contacting // J. Acoust. Soc. Amer. 1993. V. 93, N 1. P. 142–147.
12. **Achenbach J. D.** Quantitative nondestructive evaluation // Intern. J. Solids Struct. 2000. V. 37, N 1. P. 13–27.
13. **Yang L., Turner J. A.** Scattering of elastic waves in damaged media // J. Acoust. Soc. Amer. 2003. V. 113, N 6. P. 2992–3000.
14. **Mykhas'kiv V. V.** Boundary integral formulation of three-dimensional problems of steady vibrations of an infinite body with a crack located on an open Lyapunov surface // J. Math. Sci. 1998. V. 90, N 2. P. 1956–1960.
15. **Хай М. В.** Двумерные интегральные уравнения типа ньютоновского потенциала и их приложения. Киев: Наук. думка, 1993.

Поступила в редакцию 4/V 2005 г.
